

初等ばかり理論による低周波空気振動の
発振音圧の評価

北見工業大学 正量 大島俊之
同 同 三上修一
北大工学部 同 有吉田純雄

1. まえがき

本研究では、走行荷重により橋梁から発振される低周波空気振動を対象として、理論的解析により、発振音圧レベルを予測しようとするものである。著者らはこれまでに二つの問題にに関する実験走行式験験を行ない、その解析結果を発表している。^{1), 2)} それによると帶板要素法を用いた理論計算の音圧レベルにより、実験結果の音圧レベルをある程度評価できる結果となつている。

二つ目は、帶板要素法による計算により、断面内の音圧分布を明確にするとともに、平均的に一本のばかりとして評価する方法により計算した結果についても示す。

2. 帯板要素法による発振音圧の評価³⁾

橋梁構造要素(床版、主桁など)を帶板要素を用いて評価し、動的応答解析を行ない、発振音圧レベルを計算する手法について述べる。

二つ目は図1のような文献¹⁾、実験に用いた断面について計算した例について示す。図に示すように、単純合成了た(千鳥せた)構造を、帯板要素に分割し、主桁断面は等断面とみなす。走行荷重は節点3に集中して作用する单一集中荷重と考える。Modal Analysis 3次により、構造各部の振動速度を求め、構造要素断面の低周波空気振動速度成分が発振される空気振動力の粒子速度に等しいと見なして、音響学の理論にしたがって、発振音圧レベルを評価する手法による。

このようにして得られた音圧レベルは、パワースペクトル解析により、各周波数成分ごとのスペクトル密度分布として評価される。また、構造の1次固有振動数に一致する周波数において、最大値が求められる。ひ、二の時の断面内分布について検討する。

図1には走行荷重の重量と速度が10t, 60 km/hの場合と、22t, 42 km/hの場合の音圧分布を示してある。二の場合は床版厚は節点1～5の区間21 cm, 5～7の区間45 cm(歩道), 主桁高1.3 m, 支間24.1 mである。

二つ目によると荷重10tの場合には80～95 dB, 22tの場合には85～100 dBの範囲で断面内に分布しており、分布幅は15 dBとなる。他の構造例(金剛トラス、箱せた)についてはも同様に調べた結果は、ほぼ同様の15 dB以内の分布幅となる。

3. 初等ばかり理論による発振音圧の評価。

以上のようにして得られた音圧レベルの断面内分布を参考として、二つ目の平均値として一本のばかりにより簡略化して、発振音圧レベルを評価する手法について考察する。

周知のように、单一走行荷重による单純ばかりの調和振動解析による結果は、たわみ速度 $\dot{w}(t)$ について示せば、

$$\ddot{w}(t) = \frac{2P\ell^2}{EI\pi^3} \sum_m \frac{V}{m(m^2 - \alpha^2)} (\cos \frac{m\pi V t}{\ell} - \cos \lambda_m t) \sin \frac{m\pi x}{\ell} \quad (1)$$

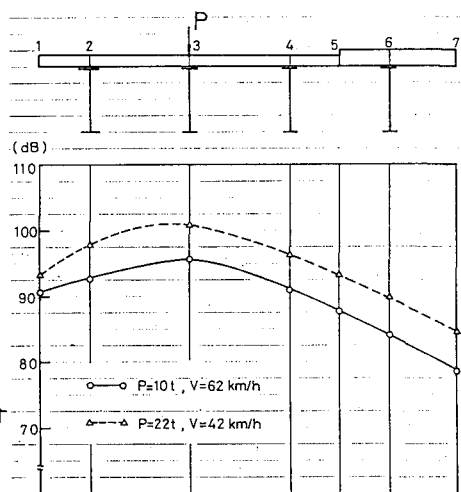


図1. 理論計算による音圧分布。

$$EI = L \lambda_m^2 = \left(\frac{m\pi}{L}\right)^2 C_0^2 = \left(\frac{EI}{PA}\right) \left(\frac{m\pi}{L}\right)^4, \quad \alpha^2 = \frac{L^2 T^2}{\pi^2} \frac{PA}{EI}, \quad L = \text{支間長}, \quad EI = \text{曲げ剛性},$$

PA = 単位長さ当たり重量, T = 走行速度。

= やをパワースペクトル解釈により、(1)の表は全体の平均パワースペクトル密度関数よりあらわすと。

$$\bar{S}_x(\omega) = \frac{1}{T} \sum_m (F_m^1[\vec{W}(T)]^2 + F_m^2[\vec{W}(T)]^2) \quad (2)$$

左式で $F_m^1[\vec{W}(T)], F_m^2[\vec{W}(T)]$ は $\lambda_m = \omega$ の場合のみ示せば次のようになる。 $(T = \frac{L}{V})$

$$F_m^1[\vec{W}(T)] = \frac{2Pl^3}{EI\pi^4} \frac{\alpha}{m(m^2 - \alpha^2)} \left[\frac{(-1)^m \sin \lambda_m T}{m^2 - \alpha^2} - \frac{T\lambda_1}{2} - \frac{\sin 2\lambda_m T}{4m^2} \right] \quad (3)$$

$$F_m^2[\vec{W}(T)] = \frac{2Pl^3}{EI\pi^4} \frac{\alpha}{m(m^2 - \alpha^2)} \left[-\frac{(-1)^m \cos \lambda_m T}{m^2 - \alpha^2} + \frac{\cos 2\lambda_m T}{4m^2} + \frac{1}{m^2 - \alpha^2} - \frac{1}{4m^2} \right] \quad (4)$$

以上より、平均音響エネルギー $I(\omega)$ は Pa , Ca をそれぞれ室温の密度、音速として

$$I(\omega) = Pa Ca \bar{S}_x(\omega) \quad (5)$$

ここで、支間中央に集中荷重 P が静的に載荷した時の荷重変動係数を $\sigma_0 (= \frac{Pl^3}{48EI} = \frac{2Pl^3}{\pi^4 EI})$ とすると、式(5)は近似的に次のようになります。

$$I(\omega) \approx Pa Ca \left(\frac{\sigma_0}{T} \right)^2 \cdot g(\lambda_1, T, \omega) \quad (6)$$

左式の関数 $g(\lambda_1, T, \omega)$ は式(3), (4)のよう

であるが、以下に示す構造別に計算した結果を図2に示す。横軸は (δ/T) をとる。

これはまた無次元量 δ は σ_0/T の増加とともに大きくなるが、計算に用いた構造と走行速度の範囲では2~3の範囲に分布する。

発振音压レベル $IL(dB) = 10 \log_{10}(I/I_0)$ は

$$IL(dB) = 10 [\log Pa Ca + 2 \log (\sigma_0/T) + 12 + \log g] \quad (7)$$

となり、各構造に対する計算結果は図3aおよび(1), (2)の影響が卓越し、(1)は一本の曲線であらわされる。左式で $I_0 = \text{音響基準エネルギー}$ である。

また図3の(1), (2)の範囲と示したのは鋼製トラス橋用である。(2)は鉄筋・箱形柱等に適用される。

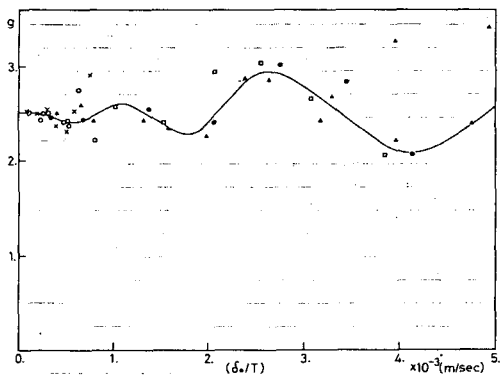
4. あとがき。

以上より、初等的理論の静止荷重と走行荷重の通過時間 T は約1. 室温振動の発振音压レベルの平均値として計算できることを示した。

今後はさらに実証的研究を行なう。

参考文献

- 1) 三上、大島、森、角田、能町：土木学会北海道支部論文報告集、第37号、1981、2。
- 2) Nomachi, Ohshima, Kakuta, Kishi; the 1980 International Conference on Noise Control Engineering, Miami, USA, 1980, 12.
- 3) 能町、角田、岸：環境情報科学、6-4、1977。



x, o; 鋼製トラス (底幅30cm, 高さ20cm)
△, ●; 合成橋 (支間26~27m)
□; 箱形橋 (1-Box, 鋼製箱形)

図2. 関数 g の分布

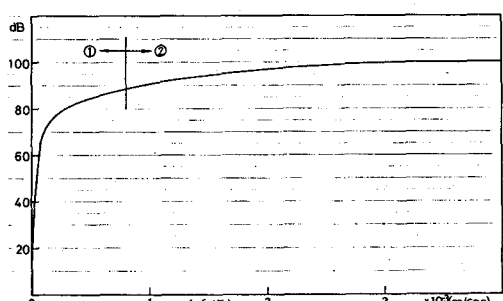


図3. 平均音压レベルの予測評価図